

一般拡散システムの回路網による状態方程式とそのシステムパラメーターの同定理論

(その2：有限要素法によるシステムパラメーターの逆探問題への適用)

正会員 奥山博康

1. はじめに 伝導と物質移動による一般拡散系をシステム理論における線型の状態方程式でモデル化する場合、本回路網の定式化法がその骨格を構成する方法として有効なこと、さらにこの状態方程式中のシステムパラメーターを同定する理論のアルゴリズム化においても有効であることを報じてきた。¹⁾ 本梗概では有限要素法においていわゆる「全体の有限要素式」と呼ばれるものがどのように状態方程式に対応するかを示し、このシミュレーションにも本時間積分法が適用できること、またこのシステムパラメーターの逆探問問題にも本同定理論が適用できることを示すものである。なおマトリクス内の要素記法との整合性を考え、今後は一般化（拡張）コンダクタンス c_{ij} ²⁾ と入力率 r_{ij} ³⁾ の持つ方向性を j から i 向かうものとして定義を改めることにする。

一般的な拡散系は既報¹⁾で述べたように(1)の状態方程式で近似される。ここに
 $x(n)$ は状態ベクトル, $x_0(n_0)$ は固定(規定)入力ベクトル, $g(n_g)$ は自由入力ベクトル, $M(n \times n)$ は容量マトリクス, $C(n \times n)$ は一般化(拡張)コンダクタンスマトリクス, $Co(n \times n_0)$, $R(n \times n_g)$ は入力マトリクスである。一方, 2次元の伝熱系を記述する偏微分方程式をガレルキン法によって離散化する場合は(1)式のそれぞれのマトリクスは次の(2)~(5)式で計算される。ここに三角形要素をとるとすれば $N_e(1 \times 3)$ は e 番要素における3個の形状関数を要素にもつ行マトリクスである。また γ_e^* は全要素にわたり重ね合わせることを表わす。 c_{pe}, r_e と λ_e はそれぞれ e 番要素の比熱、比重と熱伝導率、 α_{ej} は要素 e のある辺が外部節点 j と対流熱伝達で接するときの伝達率, a_{ej} は要素 e のある辺が g_j の日射成分の受熱をするときの吸収率である。 v_e は要素 e の空間積分領域、 s_e は要素 e がもし対流熱伝達面あるいは日射受熱面に接するとき、その界面積分領域を表わす。

$$M \cdot \dot{x} = C \cdot x + C_o \cdot x_o + R \cdot g \quad \dots \dots \dots \quad (1) \quad M = \sum_e^* \int_{v_e} c_{pe} \cdot r_e \cdot t_{Ne} \cdot N_e \, dv \quad \dots \dots \dots \quad (2)$$

$$C_0 = \left[\sum_{e=1}^{\infty} \int_{S_e} a_{e,n+1} \cdot t N_e ds, \dots, \sum_{e=1}^{\infty} \int_{S_e} a_{e,n+n_0} \cdot t N_e ds \right] \dots \dots \dots \quad (4)$$

$$R = \left[\sum_{e=1}^{\infty} \int_{S_e} a_{e,1} \cdot t N_e ds, \dots, \sum_{e=1}^{\infty} \int_{S_e} a_{e,n_0} \cdot t N_e ds \right] \dots \dots \dots \quad (5)$$

シス テムパラメーターとシミュレーション ガレルキン法によつてシステムパラメーター m_{ij} , c_{ij} , r_{ij} を計算したのは図 1 のような垂直南向の異形壁断面である。与えた物性値は表 1 に示す。(2)式で得られた M の要素 m_{ij} を表 2 に示す。マトリクス $C_{n+n_0} = \begin{bmatrix} C & C_0 \\ tC_0 & 0 \end{bmatrix}$ の要素 c_{ij} は(3), (4)式で表 3 のように得られた。ただし C の対角要素は C_{n+n_0} のその行の他の全ての要素の総和の符号を変えたものとしても得られ、コンダクタンスとしてのパラメーターとは見なさない。また R の要素 r_{ij} は南向の日射座標成分 g_i に対するものとして(5)式から表 4 のように計算された。状態方程式への入力値として、外気温と日射量は空調学会の動的熱負荷計算用の気象データを、室温には正弦波を用いた。状態方程式の固有値解析をした後、シミュレーションは射影分解による解析的時間積分法³⁾により $\Delta t = 0.1\text{ hr}$ で行った。得られた状態値は入力値とともに次の同定解析のためディスクに書込んだ。

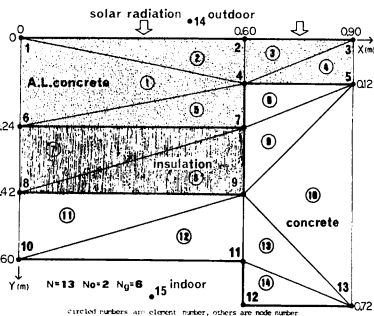


図1. 異形壁断面

(A.L.: Artificial Lightened)

表1. 物性值

	λ (kcal/m ² ·°C)	c _p (kcal/kg·°C)	γ (kg/m ³)	a (kcal/m ² ·h·°C)	a (-)
A.L. Concrete	0.12	0.21	362.0	20.0	0.5
Insulation	0.03	0.24	28.5		
Concrete	1.20	0.21	2300.0	8.0	

4. 同定解析(逆探問題)

ディスクから読み取った状態値と入力値を観測値として既報¹⁾で述べた一括同定と逐次同定を実行した。既知パラメーターとしては 65 個全ての m_{ij} をとり、 c_{ij} と r_{ij} の計 63 個のパラメーターを同定した。(1)式を変形して得られる観測方程式を(6)とすれば一括同定は(7)式、逐次同定は(8)~(10)式で行なわれる。ここに k は時刻添字、 p は観測ステップ総数、 y_k と Z_k は観測ベクトルとマトリクス、 ϕ_k はシステムパラメータベクトル a の推移マトリクス、 A_k は推定誤差共分散マトリクスなどである。

$$y_k = Z_k \cdot a \quad \dots \dots \dots (6) \quad \hat{a} = \left(\sum_{k=1}^p {}^t Z_k \cdot Z_k \right)^{-1} \cdot \left(\sum_{k=1}^p {}^t Z_k \cdot y_k \right) \quad \dots \dots \dots (7) \quad a_k = \phi_k \cdot a_{k-1} + B_k \cdot y_k \quad \dots \dots \dots (8)$$

$$A_k = A_{k-1} - A_{k-1} \cdot {}^t Z_k \cdot (E_n + Z_k \cdot A_{k-1} \cdot {}^t Z_k)^{-1} \cdot Z_k \cdot A_{k-1} \quad \dots \dots \dots (9) \quad B_k = A_k \cdot {}^t Z_k \quad \dots \dots \dots (10)$$

$$\phi_k = E_a - A_{k-1} \cdot {}^t Z_k \cdot (E_n + Z_k \cdot A_{k-1} \cdot {}^t Z_k)^{-1} \cdot Z_k \quad \dots \dots \dots (11) \quad {}^t a = ({}^t c, {}^t r) \quad \dots \dots \dots (12)$$

c_{ij} のパラメーターの間には伝導の対称性と質量保存則による拘束式が存在することが先駆的にわかっているから、既報で述べたように c のサイズを縮小するマトリクス L が構成できる。こうして c のサイズ 60 は 30 まで縮小された。従って a は 33 のサイズですむ。まず一括同定を 240 ステップずなわち 24 hr の期間で行った結果を表 5, 6 に示す。また逐次同定を 720 ステップまで行ったときのいくつかのシステムパラメーターの推移を図 2, 3 に示す。ただし初期値は $a_0 = o$ とした。図 3 で r_{ij} が同定されはじめるのは日射が出てからである。この場合の逐次同定は一括同定に比べかなり長い観測をしないと正解に近づかなかった。これは日射がない部分的な期間において Z_k 内に線型従属な o の列ベクトルが生じ、推定に悪影響を及ぼすためであると考えられる。これに対し一括同定は ${}^t Z_k \cdot Z_k$ の総和を用いるから部分的な期間でもそれらが線型独立になっていればよいことになる。

5. 結論 今回の数値実験によって次のことが確認された。(a)有限要素法にもシステム理論の考え方の導入は重要であり、その状態方程式の構造を明確にするため本回路網の概念は有用である。(b)有限要素法によって作られた状態方程式に対しても同様に本同定理論¹⁾と時間積分法³⁾は適用できる。(c)同定するシステムパラメータベクトルのサイズは先駆的情報によりなるべく縮小することが精度上望ましい。(d)部分的な観測期間において観測マトリクス内に o の従属な列ベクトルが生ずる場合には逐次同定の適用は避けるべきである。

表 2 有限要素法により得られた m_{ij} (M は対称ため左下要素は省略。ただし実際の総数 65 個)

$M(1, 1) = 0.136848E+01$	$M(1, 2) = 0.22806E+00$	$M(1, 4) = 0.68418E+00$	$M(1, 6) = 0.45612E+00$	$M(2, 2) = 0.58418E+00$	$M(2, 3) = 0.11403E+00$
$M(2, 4) = 0.34209E+00$	$M(3, 3) = 0.45612E+00$	$M(3, 5) = 0.22806E+00$	$M(4, 4) = 0.37293E+00$	$M(4, 5) = 0.83853E+00$	
$M(4, 6) = 0.68418E+00$	$M(5, 4) = 0.95256E+00$	$M(5, 6) = 0.11403E+00$	$M(5, 7) = 0.14113E+01$	$M(5, 8) = 0.36225E+01$	
$M(6, 6) = 0.14299E+01$	$M(6, 7) = 0.25884E+00$	$M(6, 8) = 0.30780E-01$	$M(7, 7) = 0.42017E+01$	$M(7, 8) = 0.61560E+01$	
$M(8, 8) = 0.44701E+01$	$M(8, 9) = 0.22043E+01$	$M(8, 10) = 0.21735E+01$	$M(9, 9) = 0.20348E+02$	$M(9, 10) = 0.43470E+01$	$M(9, 11) = 0.32603E+01$
$M(9, 13) = 0.47092E+01$	$M(10, 10) = 0.86940E+01$	$M(10, 11) = 0.21735E+01$	$M(11, 11) = 0.79695E+01$	$M(11, 12) = 0.72450E+00$	$M(11, 13) = 0.18113E+01$
$M(12, 12) = 0.14490E+01$	$M(12, 13) = 0.72450E+00$	$M(13, 13) = 0.10868E+02$			

表 3. 有限要素法により得られた c_{ij} (C は対称ため左下要素は省略、また対角要素は除く。ただし実際の総数 60 個)

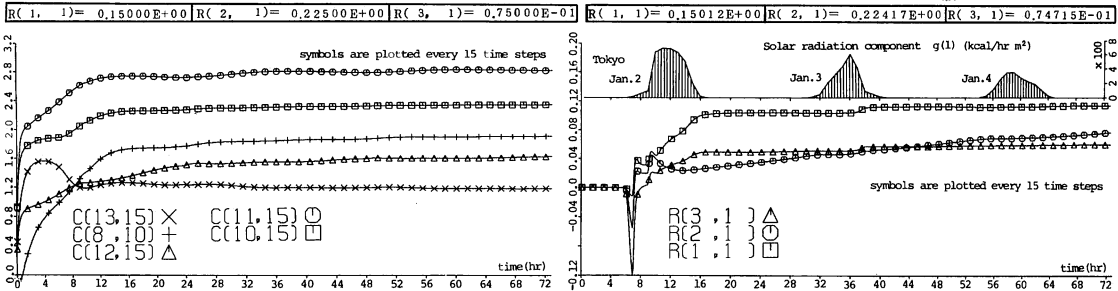
$C(1, 2) = -0.19880E+01$	$C(1, 4) = 0.12000E-01$	$C(1, 6) = 0.14400E+00$	$C(2, 3) = -0.97600E+00$	$C(2, 4) = 0.45000E+00$
$C(2, 14) = 0.90000E+01$	$C(3, 3) = 0.15000E+00$	$C(3, 14) = 0.30000E+01$	$C(4, 5) = 0.26400E+00$	$C(4, 7) = 0.18000E+01$
$C(5, 7) = 0.60000E+00$	$C(5, 9) = 0.36000E+00$	$C(5, 13) = -0.19668E-06$	$C(6, 7) = 0.16500E-01$	$C(6, 8) = 0.50000E-01$
$C(8, 9) = 0.18450E+00$	$C(8, 10) = 0.20000E+01$	$C(9, 11) = 0.34000E+01$	$C(9, 13) = 0.36000E+00$	$C(10, 11) = -0.62000E+00$
$C(11, 12) = 0.13400E+01$	$C(11, 13) = 0.60000E+00$	$C(11, 15) = 0.28751E+01$	$C(12, 13) = -0.16000E+00$	$C(12, 15) = 0.16800E+01$
				$C(13, 15) = 0.11930E+01$

表 3. 有限要素法により得られた c_{ij} (C は対称ため左下要素は省略、また対角要素は除く。ただし実際の総数 60 個)

$C(1, 2) = -0.19948E+01$	$C(1, 4) = 0.13576E-03$	$C(1, 6) = 0.14344E+00$	$C(1, 14) = 0.60000E+01$	$C(2, 3) = -0.96205E+00$	$C(2, 4) = 0.44392E+00$
$C(2, 14) = 0.89679E+00$	$C(3, 5) = 0.15046E+00$	$C(3, 14) = 0.29887E+01$	$C(4, 5) = 0.25934E+00$	$C(4, 6) = 0.12488E-01$	$C(4, 7) = 0.18111E+01$
$C(5, 7) = 0.61160E+00$	$C(5, 9) = 0.36077E+00$	$C(5, 13) = -0.23089E-02$	$C(6, 7) = 0.18491E-01$	$C(6, 8) = 0.52380E-01$	$C(7, 9) = 0.14685E+01$
$C(8, 9) = 0.17905E+00$	$C(8, 10) = 0.19979E+01$	$C(9, 11) = 0.33785E+01$	$C(9, 13) = 0.38249E+00$	$C(10, 11) = -0.60953E+00$	$C(10, 15) = 0.23984E+01$
$C(11, 12) = 0.12993E+01$	$C(11, 13) = 0.56309E+00$	$C(11, 15) = 0.28751E+01$	$C(12, 13) = -0.13059E+00$	$C(12, 15) = 0.16819E+01$	$C(13, 15) = 0.11930E+01$

表 4. 有限要素法により得られた r_{ij} (総数 3 個)

$R(1, 1) = 0.15000E+00$	$R(2, 1) = 0.22500E+00$	$R(3, 1) = 0.75000E-01$
-------------------------	-------------------------	-------------------------



- 〔参考文献〕 1) 奥山「一般拡散システムの回路網による状態方程式とそのシステムパラメーターの同定理論」建築学会学術講演梗概集, 1983, p.511
2) 奥山「1) 同じ問題」建築学会論文報告集, 1983, 2月7日投稿中 3) 奥山, 木村「建築物の熱回路系における推移行列と射影分解による時間数値積分公式」建築学会論文報告集, Vol. 269, 1978, 7月 4) 奥山「熱回路網によるシミュレーションの理論と応用」空・衛・学会学術講演論文集, 1983, p.541 5) 例えば Zadeh & Polak 「システム理論」(共立出版) (清水建設技術研究所)